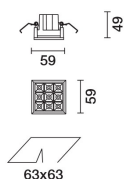
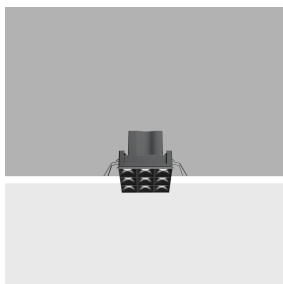


Design iGuzzini iGuzzini

Produktkonfiguration: QJ25
QJ25: Minimal 9 Zellen - Wide Flood Beam - LED



QJ25: Minimal 9 Zellen - Wide Flood Beam - LED

Miniaturisierte, viereckige Einbauleuchte mit 9 optischen Elementen mit LED-Lampen - feste Optik. Trotz der sehr kompakten Größe der Leuchte sorgt die patentierte Technologie des optischen Systems für einen effizienten Lichtfluss, hohen Sehkomfort und geringe Blendung. Hauptkorpus mit strahlender Oberfläche aus Aluminium-Guss; minimale Version (rahmenlos) für die bündig mit der Decke abschließende Montage. Für die Installation an abgehängten Decken wird ein spezifischer Adapterrahmen benötigt, der mit separatem Decke erhältlich ist. Opti Beam-Reflektor aus metallisiertem Thermoplast, in zurückgesetzter Position in den schwarzen Blendschutz integriert. Komplett mit dimmbarer DALI-Versorgungseinheit, die an die Leuchte angeschlossen ist.

Einsetzen des Leuchtenkorpus in den zuvor an der Decke installierten speziellen Adapter (QJ90) mittels Stahldrahtfedern die gleichzeitig als Fallschutz dienen - Einbau in Decken mit einer Stärke von 12,5 / 15 / 20 mm. Eine spezielle Schutzschicht vereinfacht und beschleunigt abschließende Verspachtelungen an Gipskarton.

0.27

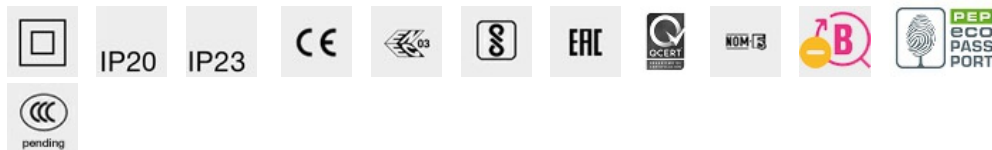
* Farben auf Anfrage

Wandeinbauleuchte | Deckeneinbauleuchte

Verkabelung
An der Versorgungseinheit mit eingebauter Klemmleiste.

Die spezielle mitgelieferte Stahldraht-Feder sorgt für eine einfache Entnahme des Leuchtenkorpus nach erfolgter Einsetzung.

Gemäß der Normen EN60598-1 u. Sondernormen



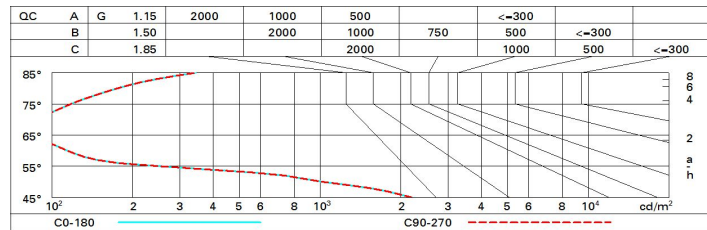
Im System:	1121	Farbtemperatur [K]:	2700
W System:	17.7	MacAdam Step:	2
Im Lichtquelle:	1350	Lebensdauer LED 1:	> 50,000h - L80 - B10 (Ta 25°C)
W Lichtquelle:	15	Eingangsspannung [V]:	230
Lichtausbeute (lm/W, Systemwert):	63.3	Lampencode:	LED
Im im Notlichtbetrieb:	-	Anzahl Lampen in Leuchtengehäuse:	1
abgegebener Lichtstrom bei/ über einem Winkel von 90°	0	ZVEI-Code:	LED
[lm]:		Anzahl Leuchtengehäuse:	1
Leuchtenbetriebswirkungsgrad 83 (L.O.R.) [%]:		Control:	DALI-2
Abstrahlwinkel [°]:	58°		
CRI (minimum):	90		

<p> $I_{\max}=1428 \text{ cd}$ $\alpha=58^\circ$ </p>	CIE nL 0.83 100-100-100-100-83 UGR 15.6-15.6		Lux			
	DIN A.61		h	d	Em	E _{max}
	UTE 0.83A+0.00T F*1=996 F*1+F*2=1000 F*1+F*2+F*3=1000		1	1.1	1135	1416
	CIBSE LG3 L<1500 cd/m ² at 65° UGR<16 L<1500 cd/mq @65°		2	2.2	284	354
			3	3.3	126	157
			4	4.4	71	89

Wirkungsgrad

R	77	75	73	71	55	53	33	00	DRR
K0.8	75	71	68	66	70	68	68	65	78
1.0	78	75	72	70	74	72	71	69	83
1.5	82	79	77	76	78	77	76	73	89
2.0	85	83	81	80	82	80	79	77	93
2.5	86	85	84	83	84	83	82	79	96
3.0	87	86	85	85	85	84	83	81	98
4.0	88	87	87	86	86	86	84	82	99
5.0	89	88	88	88	87	86	85	83	100

Söller-Diagramm



UGR-Diagramm

Corrected UGR values (at 1350 lm bare lamp luminous flux)											
Reflect.:											
ceil/cav		0.70	0.70	0.50	0.50	0.30	0.70	0.70	0.50	0.50	0.30
walls		0.50	0.30	0.50	0.30	0.30	0.50	0.30	0.50	0.30	0.30
work pl.		0.20	0.20	0.20	0.20	0.20	0.20	0.20	0.20	0.20	0.20
Room dim		viewed					viewed				
x	y	crosswise					endwise				
2H	2H	16.2	16.8	16.4	17.0	17.2	16.2	16.8	16.4	17.0	17.2
	3H	16.0	16.6	16.3	16.8	17.1	16.0	16.6	16.3	16.8	17.1
	4H	16.0	16.5	16.3	16.7	17.0	16.0	16.5	16.3	16.7	17.0
	6H	15.9	16.3	16.2	16.6	17.0	15.9	16.3	16.2	16.6	17.0
	8H	15.8	16.3	16.2	16.6	16.9	15.8	16.3	16.2	16.6	16.9
	12H	15.8	16.2	16.2	16.6	16.9	15.8	16.2	16.2	16.6	16.9
4H	2H	16.0	16.5	16.3	16.7	17.0	16.0	16.5	16.3	16.7	17.0
	3H	15.8	16.2	16.2	16.6	16.9	15.8	16.2	16.2	16.6	16.9
	4H	15.7	16.1	16.1	16.4	16.8	15.7	16.1	16.1	16.4	16.8
	6H	15.6	15.9	16.1	16.3	16.8	15.6	15.9	16.1	16.3	16.8
	8H	15.6	15.9	16.0	16.3	16.7	15.6	15.9	16.0	16.3	16.7
	12H	15.5	15.8	16.0	16.2	16.7	15.5	15.8	16.0	16.2	16.7
8H	4H	15.6	15.9	16.0	16.3	16.7	15.6	15.9	16.0	16.3	16.7
	6H	15.5	15.7	16.0	16.2	16.7	15.5	15.7	16.0	16.2	16.7
	8H	15.4	15.6	15.9	16.1	16.6	15.4	15.6	15.9	16.1	16.6
	12H	15.4	15.6	15.9	16.0	16.6	15.4	15.6	15.9	16.0	16.6
12H	4H	15.5	15.8	16.0	16.2	16.7	15.5	15.8	16.0	16.2	16.7
	6H	15.4	15.6	15.9	16.1	16.6	15.4	15.6	15.9	16.1	16.6
	8H	15.4	15.6	15.9	16.0	16.6	15.4	15.6	15.9	16.0	16.6
Variations with the observer position at spacing:											
S =	1.0H	6.5 / -24.9					6.5 / -24.9				
	1.5H	9.4 / -25.6					9.4 / -25.6				
	2.0H	11.4 / -25.8					11.4 / -25.8				